

## Решение задачи бифуркации цилиндрической оболочки при комбинированном нагружении

д.т.н. проф. Охлопков Н.Л., Нигоматулин Ф.В.  
Тверской государственный технический университет  
8 (920) 696-49-95, Fedor.nigomatulin@mail.ru  
8 (4822) 52-63-63, kafsm@yandex.ru

**Аннотация.** Рассматривается задача бифуркации тонкостенной круговой цилиндрической оболочки с учетом сложного характера деформирования в момент потери устойчивости при пропорциональном докритическом нагружении осевой сжимающей силой, крутящим моментом и внутренним давлением в девиаторном пространстве деформаций А.А. Ильюшина  $\mathcal{E}^{(3)}$ . Связь напряжений и деформаций принята в соответствии с определяющими соотношениями гипотезы компланарности. Для определяющих функций пластичности использованы несколько вариантов аппроксимаций, предложенных В.Г. Зубчаниновым [1].

**Ключевые слова:** пластичность, устойчивость, сложное нагружение, оболочка.

Решение задачи строится на основе теории устойчивости неупругих систем В.Г. Зубчанинова [1]. Используется условие несжимаемости материала и условие однородности напряженного состояния в оболочке до момента потери устойчивости. Задача решается в геометрически линейной постановке.

Уравнения связи напряжений и деформаций в момент потери устойчивости оболочки принимаем в соответствии с определяющими соотношениями гипотезы компланарности, которые в скоростях принимают вид [2]:

$$\dot{S}_{ij} = N\dot{\mathcal{E}}_{ij} + (\sigma' - N\tau)\dot{S} \frac{S_{ij}}{\sigma}, (i, j = 1, 2, 3), \quad (1)$$

где:  $\sigma' = d\sigma/dS = P\tau$ ;  $\tau = \cos \vartheta_1$ ;  $\mathcal{E}_{ij} = e_{ij}$ ;  $S_{ij}$  – компоненты тензора-девиатора напряжений;

$\mathcal{E}_{ij}$  – компоненты тензора-девиатора деформаций,

$\sigma$  – модуль вектора напряжений;

$d\sigma/dS$ ,  $N$  – определяющие функции пластичности;

$\vartheta_1$  – угол сближения ( $\cos \vartheta_1 = \hat{\sigma} \cdot \hat{p}_1$ );

$S$  – длина дуги траектории деформации.

Символ с точкой наверху означает дифференцирование по обобщенному параметру времени  $d/dt = d/dS \cdot dS/dt$ .

Зависимость  $\sigma = \Phi(\mathcal{E}) = \Phi(S)$  полагаем универсальной для простого нагружения.

Дифференциальные уравнения равновесия элемента цилиндрической оболочки, потерявшей устойчивость, и уравнения совместности деформаций имеют вид [1]:

$$\left\{ \begin{array}{l} \frac{\partial \dot{T}_{11}}{\partial X_1} + \frac{\partial \dot{T}_{12}}{\partial X_2} = 0, \quad \frac{\partial \dot{T}_{22}}{\partial X_2} + \frac{\partial \dot{T}_{12}}{\partial X_1} = 0, \\ \frac{\partial^2 \dot{M}_{11}}{\partial X_1^2} + 2 \frac{\partial^2 \dot{M}_{12}}{\partial X_1 \partial X_2} + \frac{\partial^2 \dot{M}_{22}}{\partial X_2^2} + T_{11} \dot{\chi}_{11} + T_{22} \dot{\chi}_{22} + 2T_{12} \dot{\chi}_{12} + \frac{1}{R} \dot{T}_{22} = 0, \\ \frac{\partial^2 \dot{\epsilon}_{11}}{\partial X_2^2} + \frac{\partial^2 \dot{\epsilon}_{22}}{\partial X_1^2} - 2 \frac{\partial^2 \dot{\epsilon}_{12}}{\partial X_1 \partial X_2} = -\frac{1}{R} \cdot \frac{\partial^2 \dot{W}}{\partial X_1^2}, \end{array} \right. \quad (2)$$

где:  $\dot{\varepsilon}_{ij}$  – скорости деформирования срединной поверхности,  $\dot{\chi}_{ij}$  – скорости изменения кривизны и кручения срединной поверхности,  $W$  – функция прогибов оболочки.

Первые два уравнения системы (3) будут удовлетворены, если положить:

$$\dot{T}_{11} = Eh \frac{\partial^2 \varphi}{\partial X_2^2}, \quad \dot{T}_{22} = Eh \frac{\partial^2 \varphi}{\partial X_1^2}, \quad \dot{T}_{12} = -Eh \frac{\partial^2 \varphi}{\partial X_1 \partial X_2}, \quad (3)$$

где:  $\varphi$  – функция скоростей усилий,  $E$  – модуль Юнга,  $h$  – толщина оболочки.

Решение основных уравнений задачи представим в виде рядов Фурье

$$\begin{cases} \dot{W} = \sum_{k=1}^{\infty} A_k \sin \frac{1}{R} (\lambda_m X_1 - n X_2) \\ \varphi = \sum_{k=1}^{\infty} B_k \sin \frac{1}{R} (\lambda_m X_1 - n X_2), \lambda_m = \frac{m\pi R}{L} \end{cases} \quad (4)$$

где:  $m, n$  – целые числа, определяющие число полуволин в направлениях  $X_1, X_2$  соответственно ( $X_1$  – в направлении образующей,  $X_2$  – в окружном направлении),  $L$  – длина рабочей зоны оболочки,  $R$  – радиус срединной поверхности.

Оболочку принимаем «длинной», шарнирно подкрепленной по торцам. В уравнениях (4) сохраняем по одному члену ряда [1].

В результате, окончательно получаем систему алгебраических уравнений задачи о собственных числах [1]:

$$\begin{aligned} i^2 \frac{\sigma}{Eg_1} \left[ -K_* - \frac{EN_1^*}{2\sigma v \lambda_m^2} \right] + i \frac{3N_1^* \Phi^*}{2g_1 v} K_* S_* &= \lambda_m^2 \left[ (1+r^2)^2 - \frac{1}{2} \left( 1 - \frac{g_2}{g_1} \right) K_*^2 + \frac{9N_1^* \Phi^{*2}}{8g_1 v} K_*^2 S_*^2 \right], \\ cv &= \frac{N_1^*}{2\lambda_m^2} - \frac{3}{4} \frac{N_1^* \Phi^*}{i} K_* S_*, \\ v &= (1+r^2)^2 - \frac{3}{2} \left( 1 - \frac{N_1^*}{P_1^*} \right) S_*^2, \end{aligned} \quad (5)$$

где:  $i = 3R/h$  – гибкость оболочки.

$$\begin{aligned} S_* &= S_{11}^* r^2 + S_{22}^* + 2\sigma_{12}^* r, \quad K_* = \sigma_{11}^* + \sigma_{22}^* r^2 - 2\sigma_{12}^* r, \\ \Phi^* &= \frac{P_2^*}{P_1^*} - \frac{N_2^*}{N_1^*}, \quad \Phi = \frac{h}{2} \Phi^*, \quad g_1 = \frac{D_1}{D} = \frac{3}{2} \left( N_3^* - \frac{N_2^{*2}}{N_1^*} \right), \quad g_2 = \frac{D_2}{D} = \frac{3}{2} \left( P_3^* - \frac{P_2^{*2}}{P_1^*} \right), \\ D &= \frac{Eh^3}{9}, \quad Z_p^* = \frac{2Z}{h}. \end{aligned} \quad (6)$$

Интегралы принимают вид:

$$2GP_m^* = \int_{-1}^1 Pz^{*m-1} dz^*, \quad 2GN_m^* = \int_{-1}^1 Nz^{*m-1} dz^*. \quad (7)$$

Полагаем, что в зоне пластической догрузки  $\vartheta_1 = 0^0 (\tau = 1)$ , в зоне упругой разгрузки  $\vartheta_1 = 180^0 (\tau = -1)$  и зона разгрузки примыкает к границе  $z_p^* = -1$ , где  $z_p^* = 2z/h$ . Для определяющих функций пластичности  $N$  и  $d\sigma/dS$  принимаем аппроксимации предложенные В.Г. Зубчаниновым [1].

$$N = 2G(1-\omega) \quad 0 \leq \vartheta_1 \leq \pi, \quad P = 2G(1-\lambda) \quad 0 \leq \vartheta_1 \leq \frac{\pi}{2}, \quad P = 2G \quad \frac{\pi}{2} \leq \vartheta_1 \leq \pi, \quad (8)$$

где:  $G$  – модуль сдвига,  $\omega$  – параметр пластичности А.А. Ильюшина,  $\lambda$  – параметр разупрочнения.

Разбивая в (7) интегрирование по зонам и полагая, что зона разгрузки примыкает к поверхности  $z_p^* = -1$ , получим:

$$N_m^* = \frac{1}{m} [1 - (-1)^m - \omega(1 - z_p^{*m})],$$

$$P_m^* = \frac{1}{m} [1 - (-1)^m - \lambda(1 - z_p^{*m})], (m = 1, 2, 3).$$
(9)

Для вычисления координаты границы раздела зон  $z_p^*$  имеем уравнения [1]:

$$f_1 = 2CS_*iK_*^{-1}; f_1 = P_1^*Z_p^* - P_2^*.$$
(10)

При использовании модифицированной теории устойчивости А.А. Ильюшина [1] интегралы  $P_m^*$  рассчитываются по формуле (9), а для  $N_m^*$  имеем выражение [1]:

$$N_m^* = \frac{1}{m} [1 - (-1)^m] (1 - \omega).$$
(11)

При расчете по модифицированной теории устойчивости В.Г. Зубчанинова имеем систему алгебраических уравнений [1]:

$$i^2 \frac{\sigma}{Eg_2} \left[ -K_* - \frac{EP_1^*}{2\sigma v \lambda_m^2} \right] = \lambda_m^2 (1 + r^2)^2$$

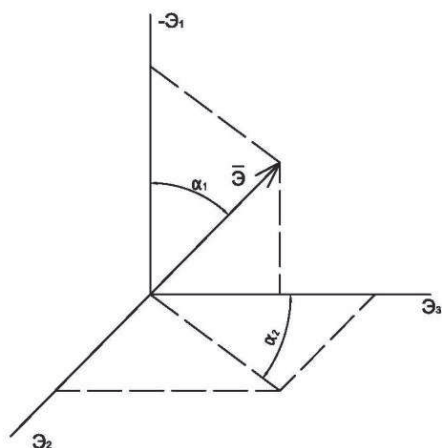
$$cv = \frac{P_1^*}{2\lambda_m^2}$$

$$v = (1 + r^2)^2$$
(12)

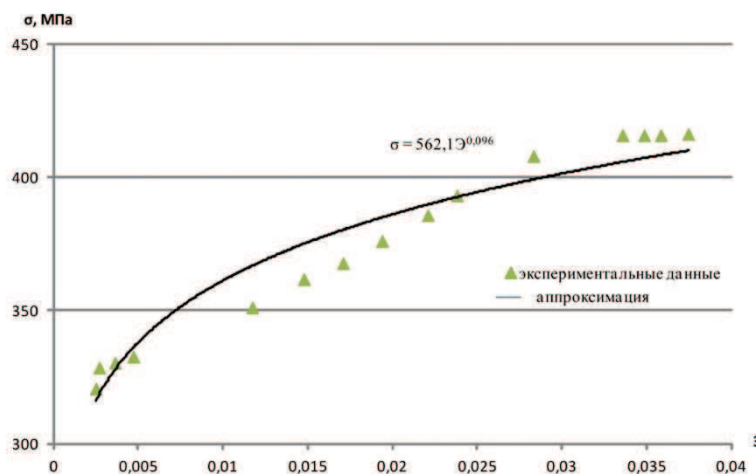
Интегралы  $P_m^*$  рассчитываются по формуле (9).

Решение бифуркационной задачи позволяет для заданной комбинации полуволн  $m, n$  вычислить критическую гибкость оболочки  $i$  в зависимости от значения модуля вектора напряжений  $\sigma$  в момент потери устойчивости.

Рассматриваются траектории пропорционального докритического деформирования оболочки осевой сжимающей силой, крутящим моментом и внутренним давлением в девiatorном пространстве деформаций А.А. Ильюшина  $\Xi^{(3)}$  (рисунок 1).



**Рисунок 1. Траектории деформирования**



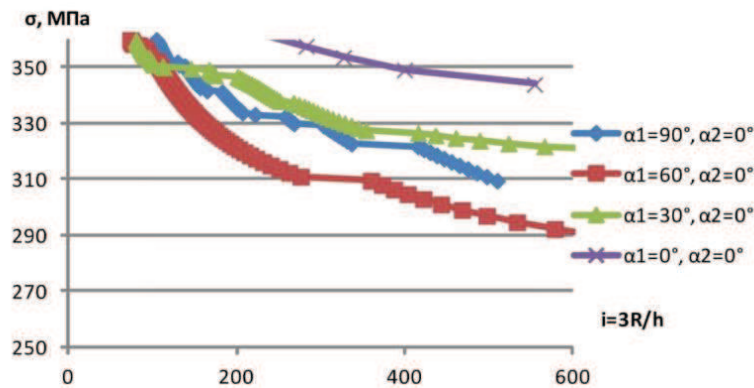
**Рисунок 2. Аппроксимация диаграммы деформирования стали 9Х2**

В качестве материала оболочек принимаем сталь 9Х2 [3]. Диаграмма деформирования материала при осевом сжатии и ее аппроксимация в зоне упруго пластических деформаций представлены на рисунке 2.

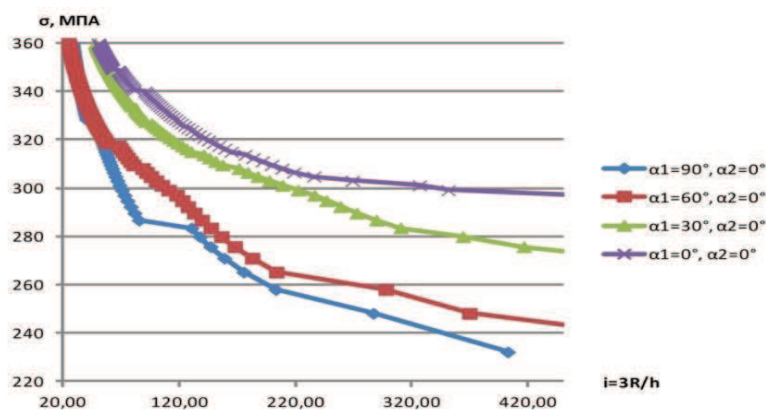
В работах [4, 5] показано, что для процессов пропорционального нагружения, реализуемых в плоскости  $\Xi_1 - \Xi_3$  (при сжатии и закручивании оболочки) расчеты по теории устойчивости А.А. Ильюшина, с учетом разгрузки материала, [1] позволяют, для ряда

конструкционных сталей, получить физически достоверные результаты. Предположительно, для данных процессов можно использовать и более простые аппроксимации определяющих функций пластичности, что сделано в настоящей работе.

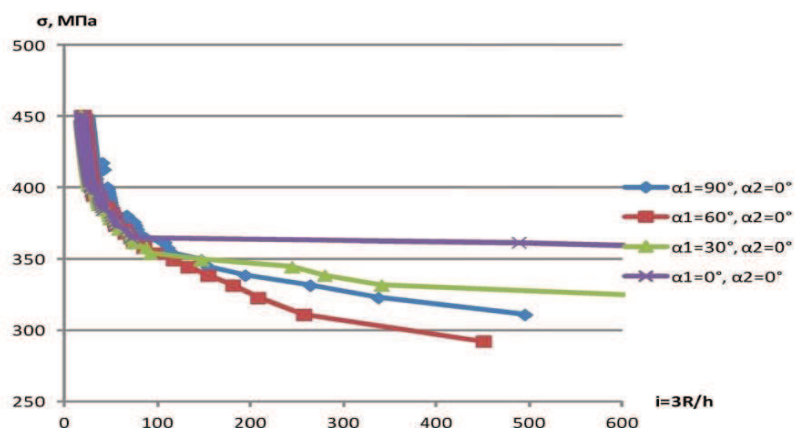
Расчеты выполнены для нескольких траекторий пропорционального нагружения оболочки в плоскости  $\Theta_1 - \Theta_3$ . На рисунках 3, 4, 5 представлены кривые наименьших гибкостей, построенные как огибающие кривых устойчивости, построенные при различных комбинациях полутолщин  $m, n$ .



**Рисунок 3. Огибающие кривых устойчивости полученные по модифицированной теории устойчивости А.А.Ильюшина**



**Рисунок 4. Огибающие кривых устойчивости полученные по модифицированной теории устойчивости В.Г.Зубчанинова**



**Рисунок 5. Огибающие кривых устойчивости полученные по теории устойчивости А.А.Ильюшина**

На рисунках 6, 7, 8, 9 кривая 1 соответствует модифицированной теории устойчивости А.А. Ильюшина, кривая 2 – модифицированной теории устойчивости В.Г. Зубчанинова, кривая 3 – теории устойчивости А.А. Ильюшина.

Анализ полученных результатов показал, что из рассмотренных вариантов решения наименьшие значения критических напряжений для оболочек реализуется в случае использования модифицированной теории устойчивости В.Г. Зубчанинова, что вполне ожидаемо. Расчеты по теории устойчивости А.А. Ильюшина и ее модифицированного варианта практически совпадают. Наименьшие значения критических напряжений реализуются в случае чистого кручения оболочки.

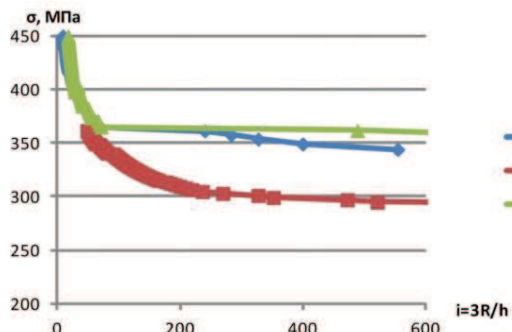


Рисунок 6. Огибающие кривых устойчивости при  $\alpha_1=0$  и  $\alpha_2=0$

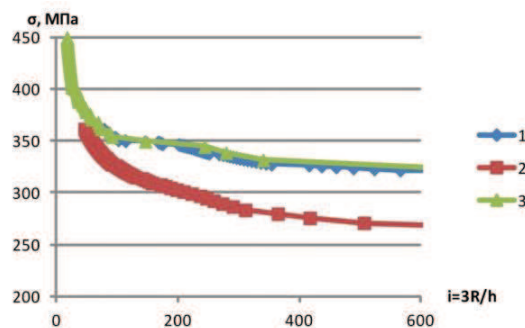


Рисунок 7. Огибающие кривых устойчивости при  $\alpha_1=30$  и  $\alpha_2=0$

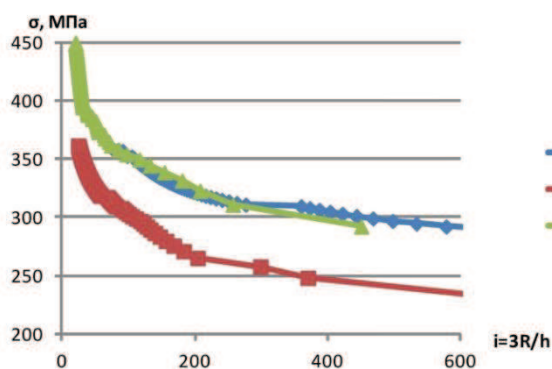


Рисунок 8. Огибающие кривых устойчивости при  $\alpha_1=60$  и  $\alpha_2=0$

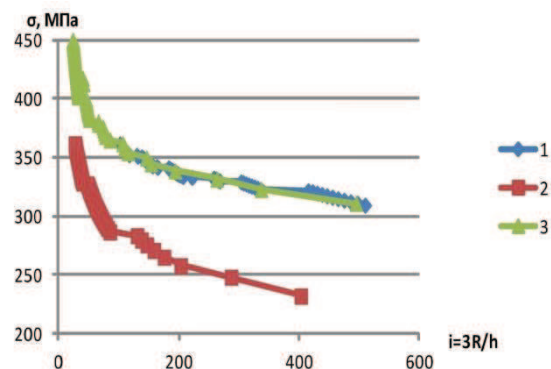


Рисунок 9. Огибающие кривых устойчивости при  $\alpha_1=90$  и  $\alpha_2=0$

Выполненные тестовые расчеты в дальнейшем будут распространены на спектр конструкционных сталей [3] и сопоставлены с результатами расчетов, полученных при использовании более сложных аппроксимаций определяющих функций пластичности [4, 5].

### Литература

1. Зубчанинов В.Г. Устойчивость и пластичность. Т. 1. Устойчивость / В.Г. Зубчанинов. – М.: Физматлит, 2007. – 448 с.
2. Зубчанинов В.Г. Математическая теория пластичности: Монография / В.Г. Зубчанинов. – Тверь: ТГТУ, 2002. – 300 с.
3. Зубчанинов В.Г. Экспериментальная пластичность: Монография. Книга 1. Процессы сложного деформирования / В.Г. Зубчанинов, Н.Л. Охлопков, В.В. Гараников. – Тверь: ТГТУ, 2003. – 172 с.
4. Охлопков Н.Л. О влиянии сложного характера деформирования в момент потери устойчивости на критические параметры напряжений круговой цилиндрической оболочки / С.А. Соколов, Н.Л. Охлопков // Вестник Тверского государственного технического университета: Научный журнал. – Тверь: ТГТУ, 2008. – Вып. 13. – С. 229-234.
5. Охлопков Н.Л. О предельных поверхностях критических напряжений и деформаций материала в решении задачи устойчивости круговой цилиндрической оболочки при простых процессах / Н.Л. Охлопков, С.В. Черемных // Фундаментальные и прикладные проблемы техники и технологии. – Орел: ОрГТУ, 2012. – Вып. 5 (295). – С. 30-36.